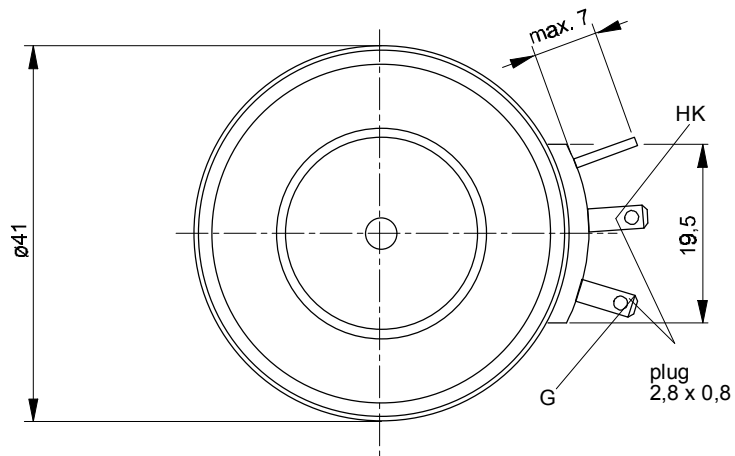
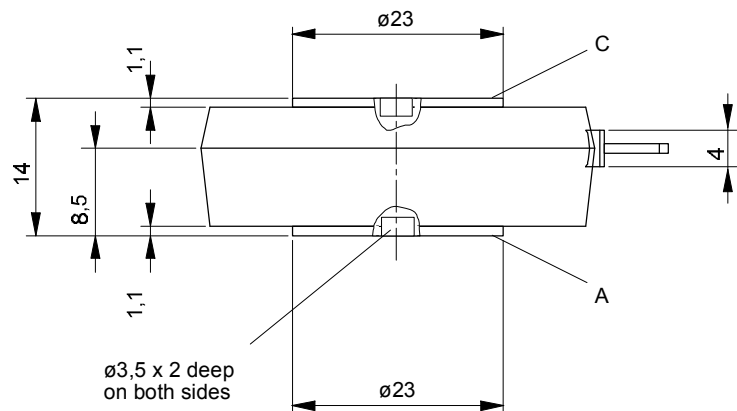




European Power-
Semiconductor and
Electronics Company

Marketing Information T 218 N



T 218 N

Elektrische Eigenschaften		Electrical properties				
<i>Höchstzulässige Werte</i>		<i>Maximum rated values</i>				
Periodische Vorwärts- und Rückwärts-Spitzenperrspannung		repetitive peak forward off-state and reverse voltages	$t_{vj} = -40^\circ\text{C} \dots t_{vj \max}$	V_{DRM}, V_{RRM}	600 800 1000 1200 1400 1600 1800	V
Vorwärts-Stoßspitzenperrspannung		non-repetitive peak forward off-state voltage	$t_{vj} = -40^\circ\text{C} \dots t_{vj \max}$	$V_{DSM} = V_{DRM}$	600 800 1000 1200 1400 1600 1800	V
Rückwärts-Stoßspitzenperrspannung		non-repetitive peak reverse voltage	$t_{vj} = +25^\circ\text{C} \dots t_{vj \max}$	$V_{RSM} = V_{RRM}$	700 900 1100 1300 1500 1700 1900	V
Durchlaßstrom-Grenzeffektivwert		RMS on-state current		I_{TRMSM}	400	A
Dauergrenzstrom		average on-state current	$t_c = 85^\circ\text{C}$	I_{TAVM}	218	A
			$t_c = 75^\circ\text{C}$		255	A
Stoßstrom-Grenzwert		surge current	$t_{vj} = 25^\circ\text{C}, t_p = 10 \text{ ms}$	I_{TSM}	3800	A
			$t_{vj} = t_{vj \max}, t_p = 10 \text{ ms}$		3400	A
Grenzlastintegral		$I^2 t$ -value	$t_{vj} = 25^\circ\text{C}, t_p = 10 \text{ ms}$	$I^2 t$	72000	A^2s
			$t_{vj} = t_{vj \max}, t_p = 10 \text{ ms}$		58000	A^2s
Kritische Stromsteilheit		critical rate of rise of on-state current	$v_D \leq 67\%, V_{DRM}, f = 50 \text{ Hz}$	$(di_T/dt)_{cr}$	150	$\text{A}/\mu\text{s}$
Kritische Spannungssteilheit		critical rate of rise of off-state voltage	$v_L = 10 \text{ V}, i_{GM} = 0,75 \text{ A}, di_G/dt = 0,75 \text{ A}/\mu\text{s}$ $t_{vj} = t_{vj \max}, v_D = 67\% V_{DRM}$	$(dv/dt)_{cr}$	1000	$\text{V}/\mu\text{s}$
Charakteristische Werte		Characteristic values				
Durchlaßspannung		on-state voltage	$t_{vj} = t_{vj \max}, i_T = 800 \text{ A}$	v_T	max. 2,2	V
Schleusenspannung		threshold voltage	$t_{vj} = t_{vj \max}$	$V_{T(TO)}$	0,9	V
Ersatzwiderstand		slope resistance	$t_{vj} = t_{vj \max}$	r_T	1,35	$\text{m}\Omega$
Zündstrom		gate trigger current	$t_{vj} = 25^\circ\text{C}, v_D = 6 \text{ V}$	I_{GT}	max. 150	mA
Zündspannung		gate trigger voltage	$t_{vj} = 25^\circ\text{C}, v_D = 6 \text{ V}$	V_{GT}	max. 2	V
Nicht zündender Steuerstrom		gate non-trigger current	$t_{vj} = t_{vj \max}, v_D = 6 \text{ V}$	I_{GD}	max. 10	mA
Nicht zündende Steuerspannung		gate non-trigger voltage	$t_{vj} = t_{vj \max}, v_D = 0,5 V_{DRM}$	V_{GD}	max. 0,25	V
Haltestrom		holding current	$t_{vj} = 25^\circ\text{C}, v_D = 6 \text{ V}, R_A = 5 \Omega$	I_H	max. 200	mA
Einraststrom		latching current	$t_{vj} = 25^\circ\text{C}, v_D = 6 \text{ V}, R_{GK} \geq 10 \Omega$	I_L	max. 800	mA
Vorwärts- und Rückwärts-Sperrstrom		forward off-state and reverse currents	$i_{GM} = 0,75 \text{ A}, di_G/dt = 0,75 \text{ A}/\mu\text{s}, t_g = 20 \mu\text{s}$	i_D, i_R	max. 30	mA
Zündverzug		gate controlled delay time	$t_{vj} = t_{vj \max}, V_D = V_{DRM}, v_R = V_{RRM}$	t_{gd}	max. 4,5	μs
Freiwerdezeit		circuit commutated turn-off time	$t_{vj} = 25^\circ\text{C}, i_{GM} = 0,75 \text{ A}, di_G/dt = 0,75 \text{ A}/\mu\text{s}$	t_q	typ. 200	μs
Thermische Eigenschaften		Thermal properties				
Innerer Wärmewiderstand für beidseitige Kühlung		thermal resistance, junction to case for two-sided cooling	$\Theta = 180^\circ \text{ el, sin}$	R_{thJC}	max. 0,111	$^\circ\text{C}/\text{W}$
für anodenseitige Kühlung		for anode-sided cooling	DC		max. 0,103	$^\circ\text{C}/\text{W}$
			$\Theta = 180^\circ \text{ el, sin}$	$R_{thJC(A)}$	max. 0,174	$^\circ\text{C}/\text{W}$
für kathodenseitige Kühlung		for cathode-sided cooling	DC		max. 0,166	$^\circ\text{C}/\text{W}$
Übergangs-Wärmewiderstand		thermal resistance, case to heatsink	$\Theta = 180^\circ \text{ el, sin}$	$R_{thJC(K)}$	max. 0,274	$^\circ\text{C}/\text{W}$
			DC		max. 0,266	$^\circ\text{C}/\text{W}$
Höchstzul. Sperrsichttemperatur		max. junction temperature	beidseitig/two-sided		max. 0,015	$^\circ\text{C}/\text{W}$
Betriebstemperatur		operating temperature	einseitig/one-sided		max. 0,030	$^\circ\text{C}/\text{W}$
Lagertemperatur		storage temperature				
			$t_{vj \max}$		125	°C
			$t_{c op}$		-40...+125	°C
			t_{stg}		-40...+140	°C
Mechanische Eigenschaften		Mechanical properties				
Si-Elemente mit Druckkontakt		Si-pellet with pressure contact				
Anpreßkraft		clamping force		F	2,5...5	kN
Gewicht		weight		G	typ. 70	g
Kriechstrecke		creepage distance			17	mm
Feuchteklass.		humidity classification	$DIN 40040$			C
Schwingfestigkeit		vibration resistance	$f = 50 \text{ Hz}$		50	m/s^2
Maßbild, anliegend		outlines, attached	$DIN 41814-151A4$			

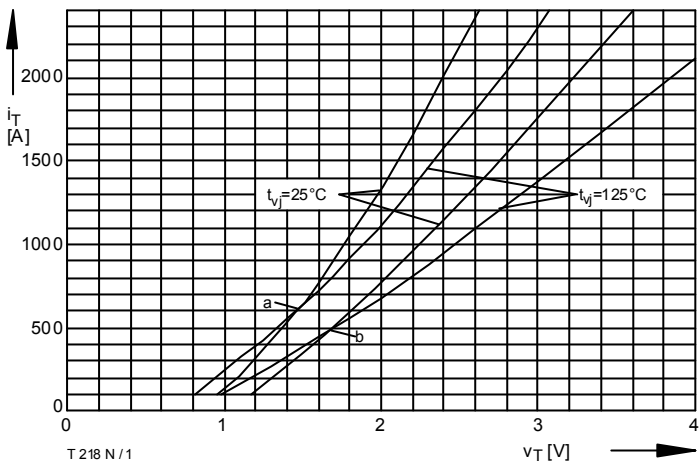


Bild / Fig. 1

Durchlaßkennlinie / On-state characteristic $i_T = f(v_T)$
 a - Typische Kennlinien / typical characteristics
 b - Grenzkennlinien / limiting characteristics

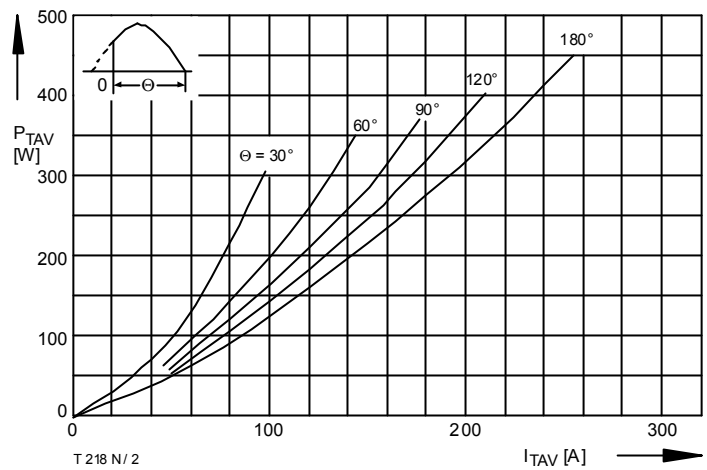


Bild / Fig. 2

Durchlaßverlustleistung / On-state power loss $P_{TAV} = f(I_{TAVM})$
 Parameter: Stromflußwinkel / Current conduction angle θ

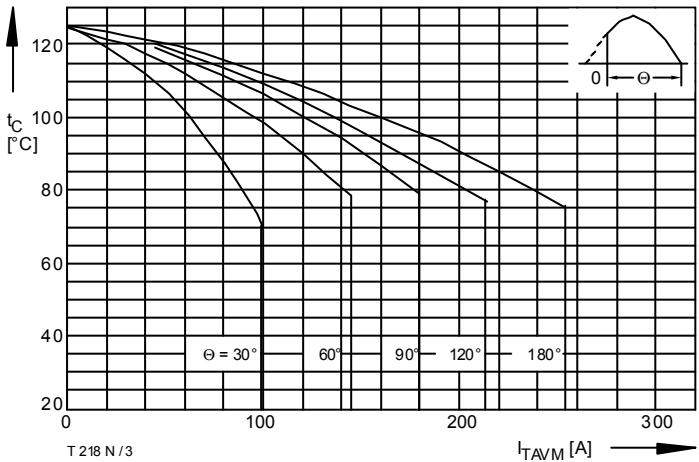


Bild / Fig. 3

Höchstzulässige Gehäusetemperatur / Max. allowable case temperature
 $t_C = f(I_{TAVM})$
 Beidseitige Kühlung / Two-sided cooling
 Parameter: Stromflußwinkel / Current conduction angle θ

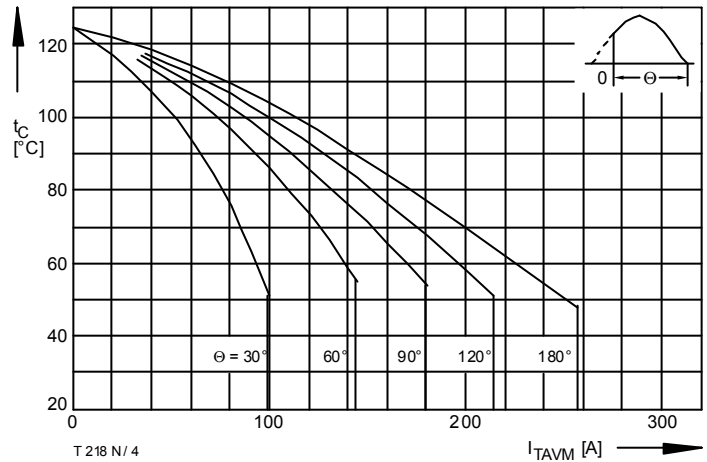


Bild / Fig. 4

Höchstzulässige Gehäusetemperatur / Max. allowable case temperature
 $t_C = f(I_{TAVM})$
 Anodenseitige Kühlung / Anode-sided cooling
 Parameter: Stromflußwinkel / Current conduction angle θ

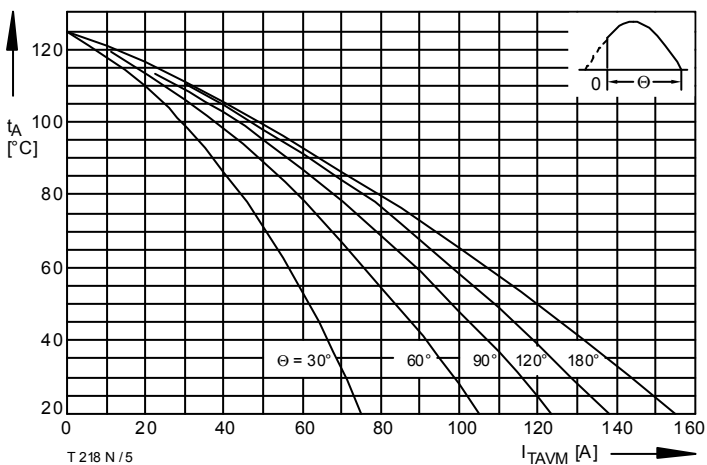


Bild / Fig. 5

Höchstzulässige Kühlmitteltemperatur / Max. allowable cooling medium temperature $t_A = f(I_{TAVM})$
 Luftselbstkühlung / Natural air-cooling
 Kühlkörper / Heatsink: K0.36S
 Parameter: Stromflußwinkel / Current conduction angle θ

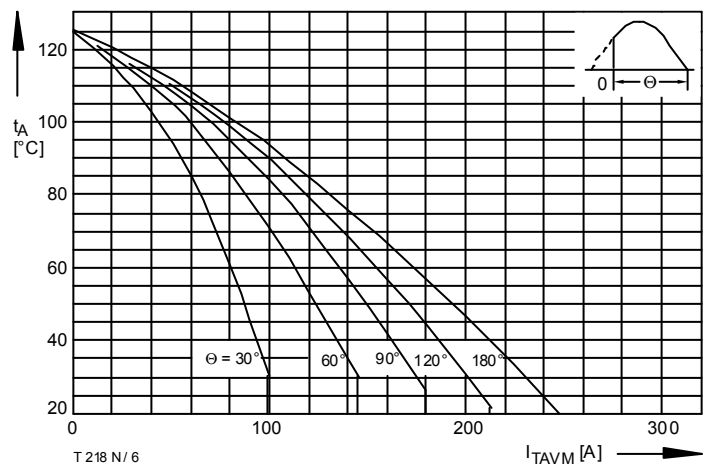


Bild / Fig. 6

Höchstzulässige Kühlmitteltemperatur / Max. allowable cooling medium temperature $t_A = f(I_{TAVM})$
 Verstärkte Luftkühlung / Forced air cooling
 Kühlkörper / Heatsink: K0.12F, $V_L = 50 \text{ l/s}$
 Parameter: Stromflußwinkel / Current conduction angle θ

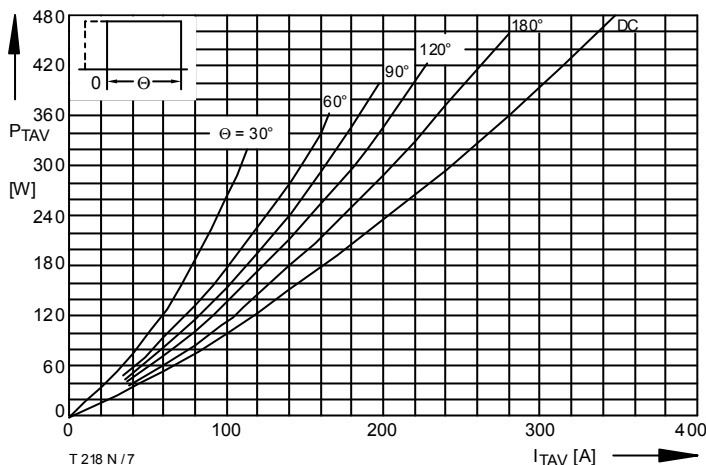


Bild / Fig. 7

Durchlaßverlustleistung / On-state power loss $P_{TAV} = f(I_{TAV})$
Parameter: Stromflußwinkel / Current conduction angle θ

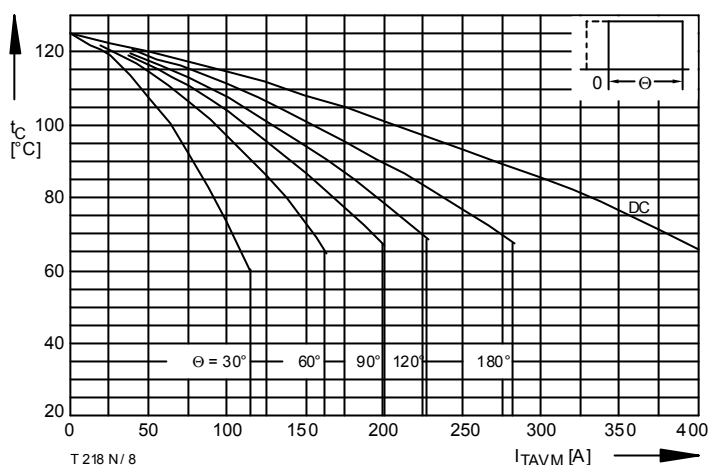


Bild / Fig. 8

Höchstzulässige Gehäusetemperatur / Max. allowable case temperature $t_C = f(I_{TAVM})$
Beidseitige Kühlung / Two-sided cooling
Parameter: Stromflußwinkel / Current conduction angle θ

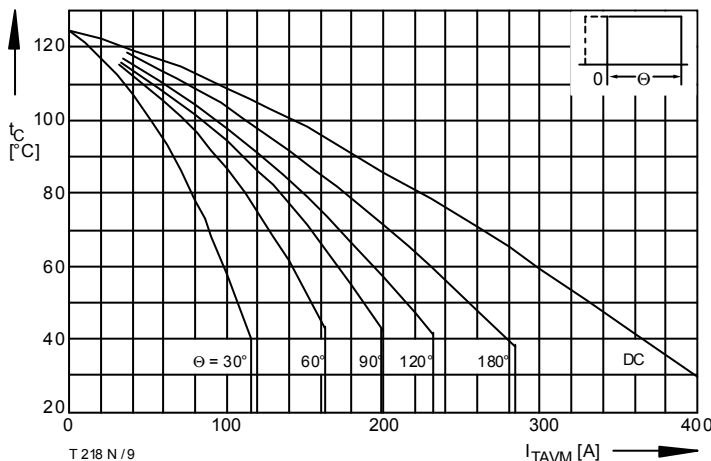


Bild / Fig. 9

Höchstzulässige Gehäusetemperatur / Max. allowable case temperature $t_C = f(I_{TAVM})$
Anodenseitige Kühlung / Anode-sided cooling
Parameter: Stromflußwinkel / Current conduction angle θ

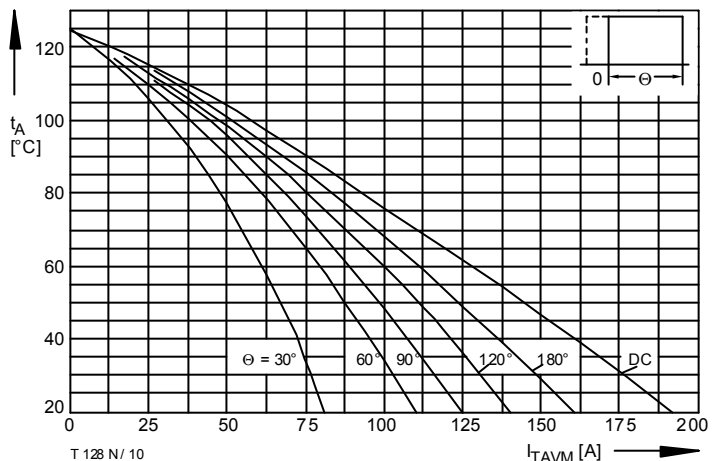


Bild / Fig. 10

Höchstzulässige Kühlmitteltemperatur / Max. allowable cooling medium temperatur $t_A = f(I_{TAVM})$
Luftselbstkühlung / Natural air-cooling
Kühlkörper / Heatsink: K0.36S
Parameter: Stromflußwinkel / Current conduction angle θ

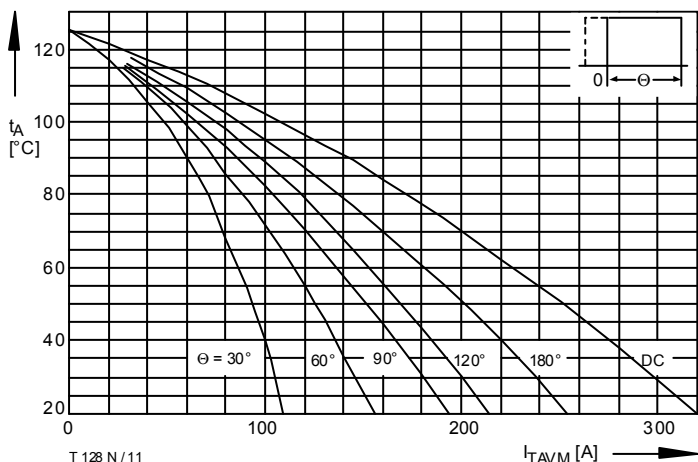


Bild / Fig. 11

Höchstzulässige Kühlmitteltemperatur / Max. allowable cooling medium temperatur $t_A = f(I_{TAVM})$
Verstärkte Luftkühlung / forced air cooling
Kühlkörper / Heatsink: K0.12F, $V_L = 50$ l/s
Parameter: Stromflußwinkel / Current conduction angle θ

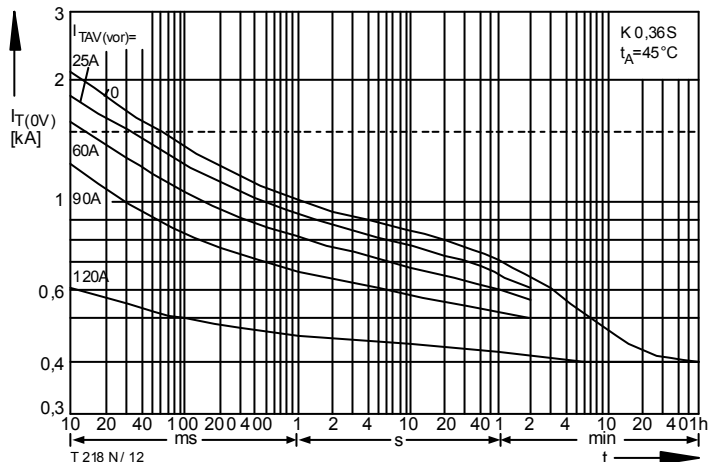
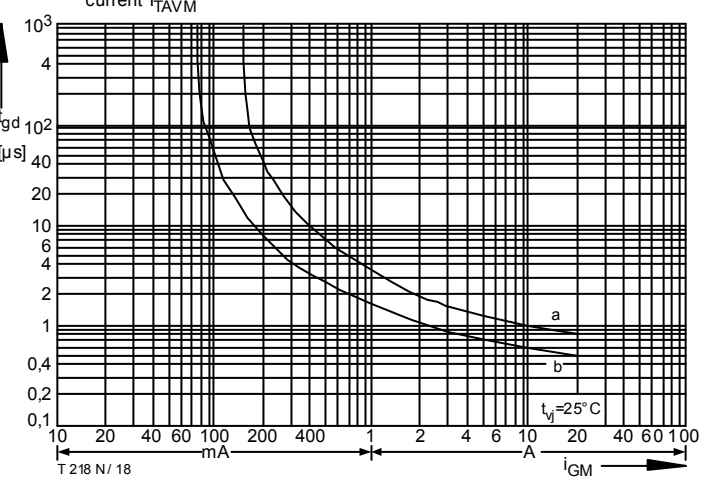
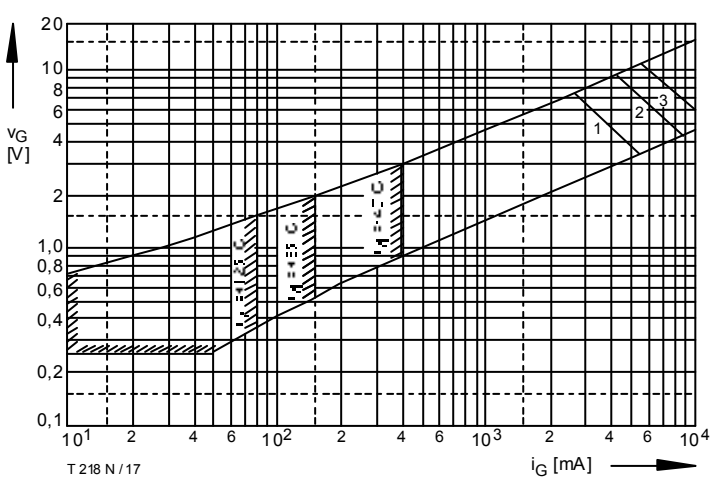
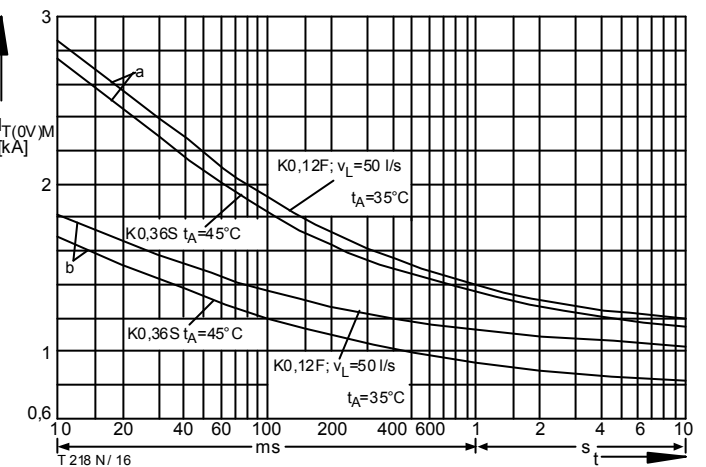
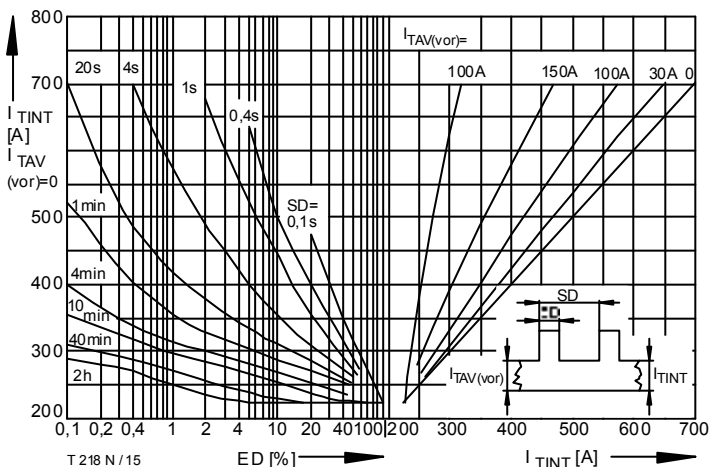
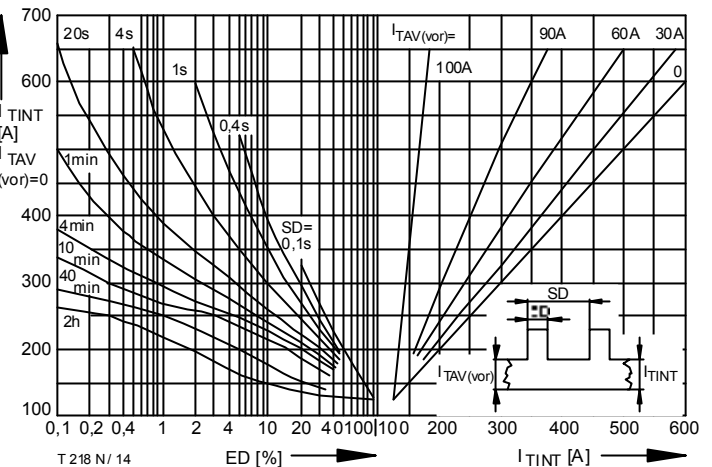
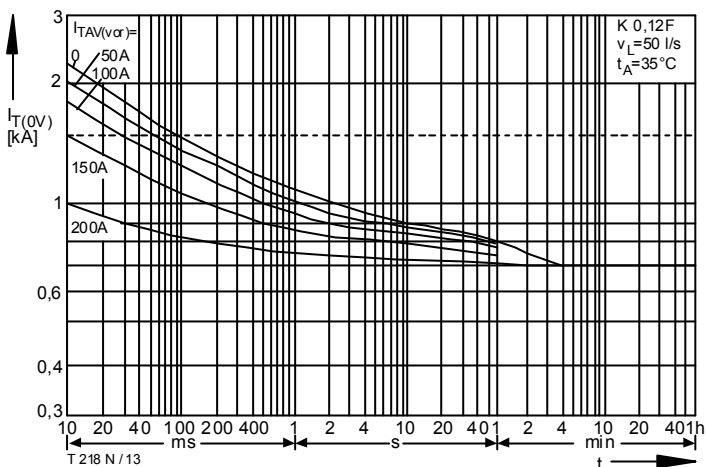


Bild / Fig. 12

Überstrom / Overload on-state current $I_{T(OV)} = f(t)$
Luftselbstkühlung / Natural air-cooling $t_A = 45^\circ C$
Kühlkörper / Heatsink: K0.36S
Parameter: Vorlaststrom / Pre-load current $I_{TAV(vor)}$



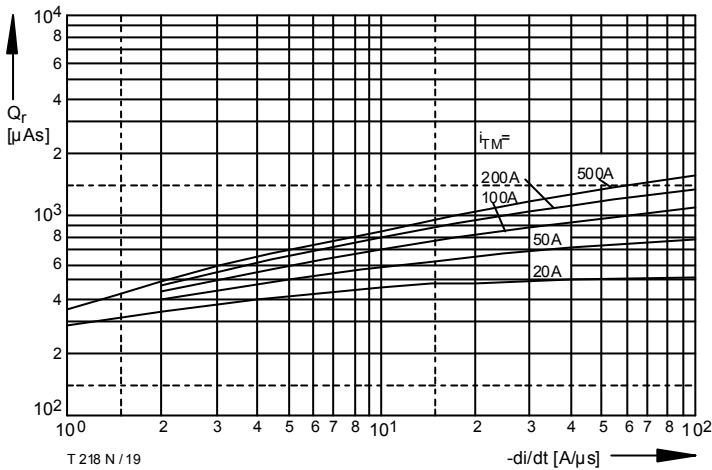


Bild / Fig. 19
Sperrverzögerungsladung / Recovered charge $Q_r = f(-di/dt)$
 $t_{vj} = t_{vj \max}, V_R = 0,5 \text{ V}_{RRM}, V_{RM} = 0,8 \text{ V}_{RRM}$
Parameter: Durchlaßstrom / On-state current i_{TM}

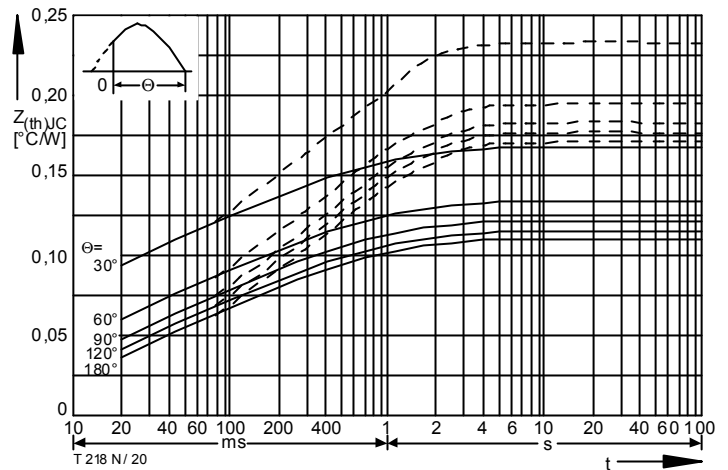


Bild / Fig. 20
Transienter innerer Wärmewiderstand / Transient thermal impedance
 $Z_{thJC} = f(t)$
--- Anodenseitige Kühlung / Anode-sided cooling
— Beidseitige Kühlung / Two-sided cooling
Parameter: Stromflußwinkel / current conduction angle θ

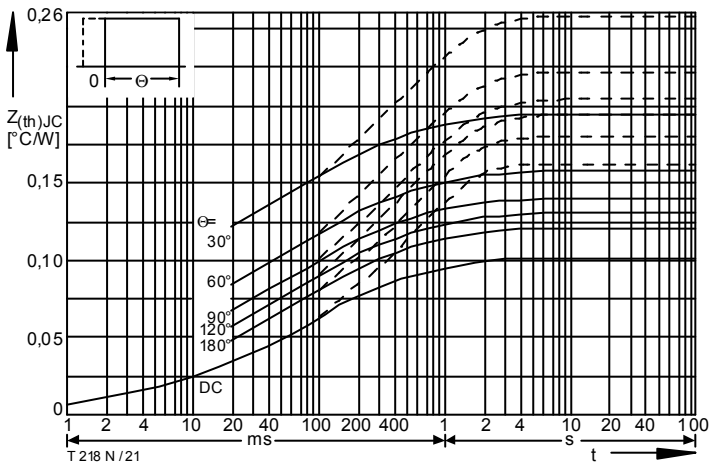


Bild / Fig. 21
Transienter innerer Wärmewiderstand / Transient thermal impedance
 $Z_{thJC} = f(t)$
--- Anodenseitige Kühlung / Anode-sided cooling
— Beidseitige Kühlung / Two-sided cooling
Parameter: Stromflußwinkel / current conduction angle θ

Analytische Elemente des transienten Wärmewiderstandes Z_{thJC} pro Zweig für DC
Analytical elements of transient thermal impedance Z_{thJC} per arm for DC

Beidseitig / Two-sided

Pos. n	1	2	3	4	5
$R_{thn} [^\circ\text{C}/\text{W}]$	0,00727	0,0232	0,0497	0,00982	0,013
$\tau_n [\text{s}]$	0,000731	0,0144	0,0993	0,413	1,51

Anodenseitig / Anode-sided

Pos. n	1	2	3	4	5
$R_{thn} [^\circ\text{C}/\text{W}]$	0,00809	0,0295	0,0507	0,0725	0,0052
$\tau_n [\text{s}]$	0,000855	0,0181	0,188	0,96	4,85

Kathodenseitig / Cathode-sided

Pos. n	1	2	3	4	5
$R_{thn} [^\circ\text{C}/\text{W}]$	0,00929	0,0331	0,0735	0,102	0,0477
$\tau_n [\text{s}]$	0,00103	0,0219	0,34	1,81	11,8

Analytische Funktion / Analytical function:

$$Z_{thJC} = \sum_{n=1}^{n_{\max}} R_{thn} \left(1 - e^{-\frac{t}{\tau_n}}\right)$$

Terms & Conditions of Usage

Attention

The present product data is exclusively subscribed to technically experienced staff. This Data Sheet is describing the specification of the products for which a warranty is granted exclusively pursuant the terms and conditions of the supply agreement. There will be no guarantee of any kind for the product and its specifications. Changes to the Data Sheet are reserved.

You and your technical departments will have to evaluate the suitability of the product for the intended application and the completeness of the product data with respect to such application. Should you require product information in excess of the data given in the Data Sheet, please contact your local Sales Office via "www.eupec.com / sales & contact".

Warning

Due to technical requirements the products may contain dangerous substances. For information on the types in question please contact your local Sales Office via "www.eupec.com / sales & contact".